

## 2. Instationäre Profiltheorie

---

- Untersucht wird wie im stationären Fall ein dünnes Profil in der  $xz$ -Ebene.
- Im Rahmen einer linearen Theorie genügt für die Berechnung des Auftriebs die Betrachtung der Skelettlinie.

## 2. Instationäre Profiltheorie

---

2.1 Formulierung des Randwertproblems

2.2 Integralgleichung für die Wirbelbelegung

2.3 Analytische Lösung

2.4 Methode der diskreten Wirbel

## 2.1 Formulierung des Randwertproblems

---

- Aufgabenstellung:

- Das Störpotential  $\phi$  löst die Potentialgleichung

$$\nabla^2 \phi = 0$$

- Randbedingungen:

- Auf der Skelettlinie:  $\mathbf{n} \cdot (\mathbf{v}_\infty + \nabla \phi) = \mathbf{n} \cdot \mathbf{v}_S$

- Im Unendlichen:  $w = \nabla \phi = \mathbf{0}$  für  $x \rightarrow -\infty$

- Dabei ist  $\mathbf{v}_S$  die Geschwindigkeit, mit der sich die Skelettlinie bewegt.

- Zusätzlich muss die Druckdifferenz an der Hinterkante null sein (Kutta-Bedingung).

## 2.1 Formulierung des Randwertproblems

---

- Linearisierung der Randbedingung:

- Bei kleinen Anstellwinkeln  $\alpha$  gilt für die Anströmgeschwindigkeit:  $\mathbf{v}_\infty = v_\infty (\mathbf{e}_x + \alpha \mathbf{e}_z)$
- Wie im stationären Fall gilt für den Normalenvektor auf der Skelettlinie:

$$\mathbf{n} = -\frac{dz_S}{dx} \mathbf{e}_x + \mathbf{e}_z$$

- Unter Vernachlässigung von Produkten kleiner Größen folgt:

$$\mathbf{n} \cdot (\mathbf{v}_\infty + \mathbf{w}) = -v_\infty \left( \frac{dz_S}{dx} - \alpha \right) + w_z$$

$$\mathbf{n} \cdot \mathbf{v}_S = \dot{z}_S$$

## 2.1 Formulierung des Randwertproblems

---

- Damit gilt für den Abwind:  $w_z = \dot{z}_S + v_\infty \left( \frac{dz_S}{dx} - \alpha \right)$

- Mit  $z_S(t) = z_{S0} + z(t)$ ,  $w_z(t) = w_{z0} + w_{zt}(t)$

folgt:  $w_{z0} + w_{zt}(t) = v_\infty \left( \frac{dz_{S0}}{dx} - \alpha \right) + \dot{z}(t) + v_\infty \frac{dz}{dx}(t)$

- Das Problem lässt sich also aufteilen in eine stationäres und ein instationäres Problem.

## 2.1 Formulierung des Randwertproblems

---

- Das stationäre Problem mit der Randbedingung

$$w_{z0} = v_{\infty} \left( \frac{dz_{s0}}{dx} - \alpha \right), \quad 0 \leq x \leq c$$

wurde in Kapitel 4.1 behandelt.

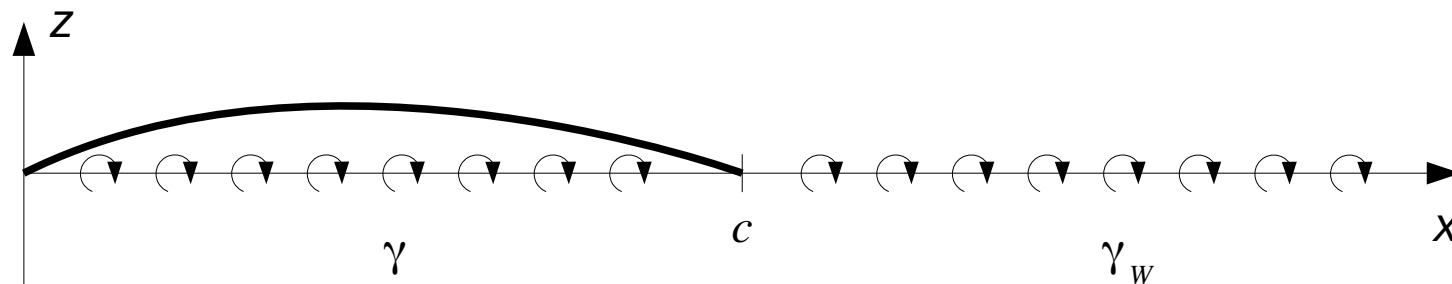
- Die Randbedingung für das instationäre Problem ist:

$$w_{zt}(t) = \dot{z}(t) + v_{\infty} \frac{dz}{dx}(t), \quad 0 \leq x \leq c$$

## 2.2 Integralgleichung für die Wirbelbelegung

---

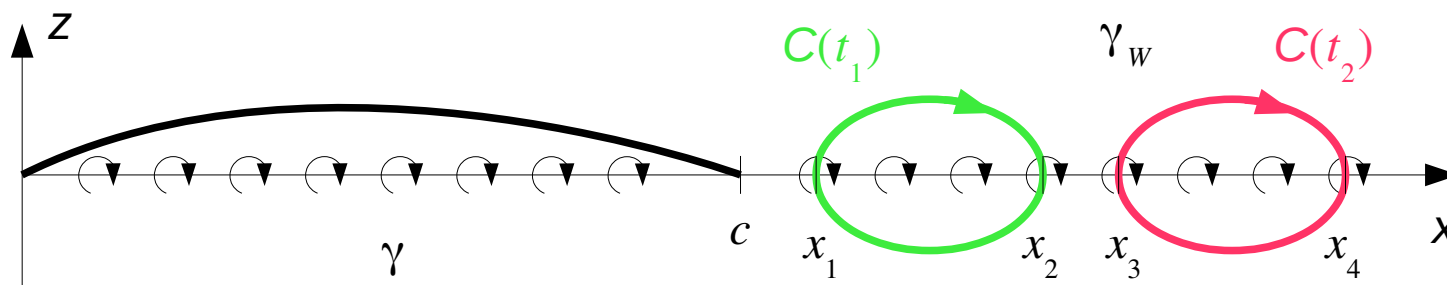
- Zur Lösung des Randwertproblems wird wie im stationären Fall eine Wirbelverteilung entlang der Profilverteilung angenommen.
- Da sich die Wirbelverteilung zeitlich ändert, erfordert der Wirbelsatz von Kelvin zusätzliche Wirbel hinter dem Profil, die den Nachlauf modellieren.
- Im Rahmen der linearen Theorie werden diese Wirbel entlang der  $x$ -Achse angeordnet.



## 2.2 Integralgleichung für die Wirbelbelegung

- Gleichungen für den Nachlauf:
  - Zunächst wird ein im Nachlauf mitschwimmender Weg betrachtet.
  - Für die Zirkulation gilt:

$$\Gamma(t_1) = \int_{x_1}^{x_2} \gamma_W(x, t_1) dx, \quad \Gamma(t_2) = \int_{x_3}^{x_4} \gamma_W(x, t_2) dx$$



## 2.2 Integralgleichung für die Wirbelbelegung

---

- Die Geschwindigkeit im Nachlauf ist ungefähr gleich der ungestörten Anströmgeschwindigkeit.
- Daher gilt:  $x_1 \approx x_3 - v_\infty \Delta t$ ,  $x_2 \approx x_4 - v_\infty \Delta t$ ,  $\Delta t = t_2 - t_1$
- Der Wirbelsatz von Kelvin lautet:

$$\Gamma(t_2) = \Gamma(t_1) : \int_{x_3}^{x_4} \gamma_W(x, t_2) dx = \int_{x_3 - v_\infty \Delta t}^{x_4 - v_\infty \Delta t} \gamma_W(x, t_1) dx$$

- Die Substitution  $\bar{x} = x + v_\infty \Delta t$  führt auf

$$\int_{x_3 - v_\infty \Delta t}^{x_4 - v_\infty \Delta t} \gamma_W(x, t_1) dx = \int_{x_3}^{x_4} \gamma_W(\bar{x} - v_\infty \Delta t, t_1) d\bar{x}$$

## 2.2 Integralgleichung für die Wirbelbelegung

---

- Damit folgt:

$$\int_{x_3}^{x_4} \gamma_W(x, t_2) dx = \int_{x_3}^{x_4} \gamma_W(x - v_\infty \Delta t, t_1) dx$$

- Dabei wurde benutzt, dass die Bezeichnung der Integrationsvariablen frei gewählt werden kann.
- Da diese Beziehung für beliebige Werte von  $x_3$  und  $x_4$  gelten muss, folgt:

$$\gamma_W(x, t_2) = \gamma_W(x - v_\infty \Delta t, t_1)$$

- Für  $\Delta t = \frac{x - c}{v_\infty}$  gilt:  $t_1 = t_2 - \frac{x - c}{v_\infty}$ ,  $x - v_\infty \Delta t = c$

## 2.2 Integralgleichung für die Wirbelbelegung

---

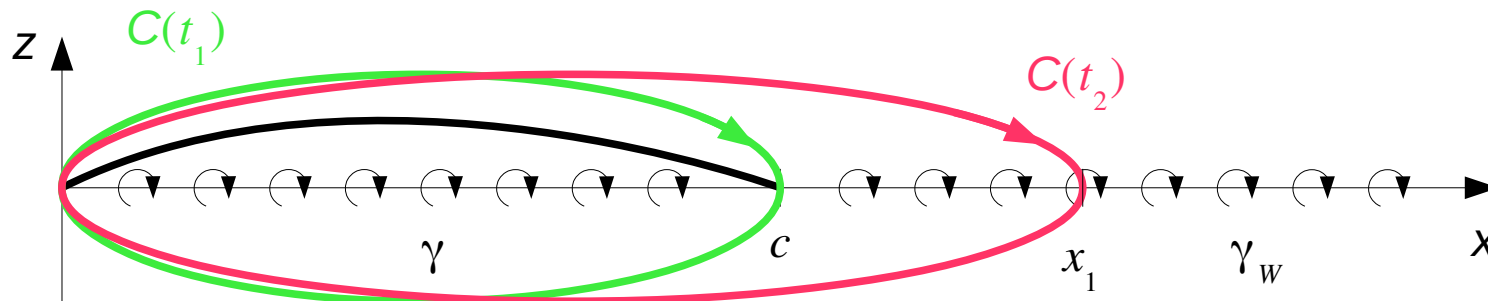
- Damit ist gezeigt:

$$\gamma_w(x, t) = \gamma_w\left(c, t - \frac{x - c}{v_\infty}\right), \quad x \geq c$$

- Die Wirbelstärke im Nachlauf wird durch die Wirbelstärke an der Hinterkante festgelegt.

## 2.2 Integralgleichung für die Wirbelbelegung

- Zur Ermittlung der Wirbelstärke an der Hinterkante wird ein mitschwimmender Weg betrachtet, der das Profil umfasst:



- Für die Zirkulation gilt:

$$\Gamma(t_1) = \int_0^c \gamma(x, t_1) dx, \quad \Gamma(t_2) = \int_0^c \gamma(x, t_2) dx + \int_c^{x_1} \gamma_w(x, t_2) dx$$

$$\text{mit } x_1 = c + v_\infty \Delta t, \quad \Delta t = t_2 - t_1$$

## 2.2 Integralgleichung für die Wirbelbelegung

---

- Der Wirbelsatz von Kelvin lautet:

$$\Gamma(t_1) = \Gamma(t_2) : \int_0^c \gamma(x, t_1) dx = \int_0^c \gamma(x, t_2) dx + \int_c^{c+v_\infty \Delta t} \gamma_W(x, t_2) dx$$

- Mit  $\Gamma_0(t) = \int_0^c \gamma(x, t) dx$

$$\text{folgt: } \Gamma_0(t_2) - \Gamma_0(t_1) = - \int_c^{c+v_\infty \Delta t} \gamma_W(x, t_2) dx$$

- $\Gamma_0$  ist die Zirkulation entlang eines ortsfesten, das Profil umfassenden Weges, der durch die Profilhinterkante verläuft.

## 2.2 Integralgleichung für die Wirbelbelegung

---

- Für das Integral über den Nachlauf gilt:

$$\int_c^{c+v_\infty \Delta t} \gamma_W(x, t_2) dx = \int_c^{c+v_\infty \Delta t} \gamma_W\left(c, t_2 - \frac{x-c}{v_\infty}\right) dx$$

- Die Substitution  $\tau = t_2 - (x-c)/v_\infty$  ergibt

$$\int_c^{c+v_\infty \Delta t} \gamma_W(x, t_2) dx = -v_\infty \int_{t_2}^{t_1} \gamma_W(c, \tau) d\tau = v_\infty \int_{t_1}^{t_2} \gamma_W(c, \tau) d\tau$$

- Mit  $\Gamma_0(t_2) - \Gamma_0(t_1) = \int_{t_1}^{t_2} \frac{d\Gamma_0}{d\tau} d\tau$

folgt:

$$\int_{t_1}^{t_2} \left( \frac{d\Gamma_0}{d\tau} + v_\infty \gamma_W(c, \tau) \right) d\tau = 0$$

## 2.2 Integralgleichung für die Wirbelbelegung

---

- Da die Zeitpunkte  $t_1$  und  $t_2$  beliebig gewählt werden können, muss gelten:

$$\gamma_w(c, t) = -\frac{1}{v_\infty} \frac{d\Gamma_0}{dt}$$

## 2.2 Integralgleichung für die Wirbelbelegung

---

- Integralgleichung für die Wirbelbelegung:
  - Für die z-Komponente der von der Wirbelbelegung induzierten Geschwindigkeit gilt:

$$w_z(x, z, t) = -\frac{1}{2\pi} \left( \int_0^c \frac{\gamma(\xi, t)(x-\xi) d\xi}{(x-\xi)^2 + z^2} + \int_c^\infty \frac{\gamma_w(\xi, t)(x-\xi) d\xi}{(x-\xi)^2 + z^2} \right)$$

- Einsetzen der Randbedingung auf der Skelettlinie ergibt eine Integralgleichung für die Wirbelbelegung:

$$\dot{z} + v_\infty \frac{dz}{dx} = w_z(x, 0, t) = -\frac{1}{2\pi} \left( \int_0^c \frac{\gamma(\xi, t) d\xi}{x-\xi} + \int_c^\infty \frac{\gamma_w(\xi, t) d\xi}{x-\xi} \right)$$

## 2.2 Integralgleichung für die Wirbelbelegung

---

- Harmonische Schwingung:
  - Viele zeitliche Vorgänge lassen sich mithilfe der Fourier-Transformation als Integral über harmonische Vorgänge darstellen.
  - Daher bildet die Analyse harmonischer Schwingungen die Grundlage für die Analyse allgemeinerer instationärer Vorgänge.
  - In komplexer Schreibweise gilt für einen harmonischen Vorgang:

$$z(x, t) = \Re \left( Z(x) e^{i\omega t} \right), \quad \dot{z} = \Re \left( i\omega Z(x) e^{i\omega t} \right)$$

$$y(x, t) = \Re \left( \hat{y}(x) e^{i\omega t} \right), \quad y_w(x, t) = \Re \left( \hat{y}_w(x) e^{i\omega t} \right)$$

## 2.2 Integralgleichung für die Wirbelbelegung

---

- Dabei sind  $Z$ ,  $\hat{y}$  und  $\hat{y}_W$  komplexe Amplituden.
- Aus den Gleichungen für den Nachlauf folgt

$$\hat{y}_W(x) e^{i\omega t} = \hat{y}_W(c) e^{i\omega t} e^{-i\omega(x-c)/v_\infty} = \hat{y}_W(c) e^{i\omega c/v_\infty} e^{-i\omega x/v_\infty} e^{i\omega t}$$

und  $\hat{y}_W(c) e^{i\omega t} = -\frac{i\omega}{v_\infty} \hat{\Gamma}_0 e^{i\omega t}$  mit  $\hat{\Gamma}_0 = \int_0^c \hat{y}(x) dx$ .

- Die Wirbelbelegung im Nachlauf ist periodisch in  $x$ .
- Aus

$$\frac{\omega}{v_\infty} (x + \lambda) - \frac{\omega}{v_\infty} x = 2\pi$$

folgt für die *Wellenlänge*:  $\lambda = 2\pi \frac{v_\infty}{\omega}$

## 2.2 Integralgleichung für die Wirbelbelegung

- Mit der *reduzierten Frequenz*

$$k = \frac{\omega c}{2 v_{\infty}}$$

gilt:  $\lambda = \pi c / k$

- Die Integralgleichung für die Wirbelbelegung lautet:

$$2ik \frac{Z}{c} + \frac{dZ}{dx} = -\frac{1}{2\pi v_{\infty}} \left( \int_0^c \frac{\hat{y}(\xi) d\xi}{x-\xi} - 2ik e^{2ik} \frac{\hat{\Gamma}_0}{c} \int_c^{\infty} \frac{e^{-2ik\xi/c}}{x-\xi} d\xi \right)$$

$$\hat{\Gamma}_0 = \int_0^c \hat{y}(\xi) d\xi$$

## 2.2 Integralgleichung für die Wirbelbelegung

---

- Berechnung des Nachlaufintegrals:
  - Das Nachlaufintegral lässt sich mithilfe der Integralexponentialfunktion berechnen.

- Zunächst gilt:

$$I_W(x) = \int_c^{\infty} \frac{e^{-2ik\xi/c}}{x-\xi} d\xi = -e^{-2ikx/c} \int_c^{\infty} \frac{e^{-2ik(\xi-x)/c}}{2ik(\xi-x)/c} \frac{2ik}{c} d\xi$$

- Die Substitution

$$u = 2ik(\xi - x)/c, \quad du = 2ik d\xi/c, \quad u_0 = 2ik(c - x)/c$$

ergibt:

$$I_W(x) = -e^{-2ikx/c} \int_{u_0(x)}^{\infty} \frac{e^{-u}}{u} du$$

## 2.2 Integralgleichung für die Wirbelbelegung

---

- Mit der *Integralexponentialfunktion*

$$E_1(z) = \int_z^{\infty} \frac{e^{-u}}{u} du$$

gilt: 
$$I_W(x) = -e^{-2ikx/c} E_1\left(\frac{2ik(c-x)}{c}\right)$$

- Mit 
$$F(x) = \frac{2ik}{c} e^{2ikx/c} I_W(x) = -\frac{2ik}{c} e^{2ik(c-x)/c} E_1\left(\frac{2ik(c-x)}{c}\right)$$

lautet die Integralgleichung:

$$2ik \frac{Z}{c} + \frac{dZ}{dx} = \frac{1}{2\pi v_{\infty}} \left( \int_0^c \frac{\hat{y}(\xi) d\xi}{\xi - x} + F(x) \hat{\Gamma}_0 \right), \quad \hat{\Gamma}_0 = \int_0^c \hat{y}(\xi) d\xi$$

## 2.2 Integralgleichung für die Wirbelbelegung

---

- Druckverteilung:

- Mit  $v = v_\infty + w$  und  $\Phi = \Phi_\infty + \phi$  folgt unter Vernachlässigung von Produkten kleiner Größen wie im stationären Fall für die Druckbeiwerte auf der Ober- und der Unterseite der Skelettlinie:

$$c_{po} = -2 \frac{w_{ox}}{v_\infty} - \frac{2}{v_\infty^2} \frac{\partial \phi_o}{\partial t}, \quad c_{pu} = -2 \frac{w_{ux}}{v_\infty} - \frac{2}{v_\infty^2} \frac{\partial \phi_u}{\partial t}$$

- Wie im stationären Fall lässt sich zeigen:

$$w_{ox}(x, t) = \frac{1}{2} \gamma(x, t), \quad w_{ux}(x, t) = -\frac{1}{2} \gamma(x, t)$$

## 2.2 Integralgleichung für die Wirbelbelegung

---

- Mit

$$\phi_o(x, t) = \int_0^x \frac{\partial \phi_o}{\partial x}(\xi, t) d\xi = \int_0^x w_{ox}(\xi, t) d\xi = \frac{1}{2} \int_0^x \gamma(\xi, t) d\xi$$

gilt für den Druckbeiwert auf der Oberseite:

$$c_{po}(x, t) = -\frac{\gamma(x, t)}{v_\infty} - \frac{1}{v_\infty^2} \frac{\partial}{\partial t} \int_0^x \gamma(\xi, t) d\xi$$

- Für den Druckbeiwert auf der Unterseite folgt entsprechend:

$$c_{pu}(x, t) = \frac{\gamma(x, t)}{v_\infty} + \frac{1}{v_\infty^2} \frac{\partial}{\partial t} \int_0^x \gamma(\xi, t) d\xi$$

## 2.2 Integralgleichung für die Wirbelbelegung

---

- Damit gilt für die Differenz der Druckbeiwerte:

$$\Delta c_p(x, t) = c_{pu}(x, t) - c_{po}(x, t) = 2 \left( \frac{\gamma(x, t)}{v_\infty} + \frac{1}{v_\infty^2} \frac{\partial}{\partial t} \int_0^x \gamma(\xi, t) d\xi \right)$$

- An der Hinterkante gilt:

$$\Delta c_p(c, t) = \frac{2}{v_\infty} \left( \gamma(c, t) + \frac{1}{v_\infty} \frac{\partial}{\partial t} \int_0^c \gamma(\xi, t) d\xi \right)$$

- Mit  $\gamma(c, t) = \gamma_w(c, t) = -\frac{1}{v_\infty} \frac{\partial}{\partial t} \int_0^c \gamma(\xi, t) d\xi$

folgt:  $\Delta c_p(c, t) = 0$

## 2.2 Integralgleichung für die Wirbelbelegung

---

- Für eine harmonische Schwingung folgt:

$$\Delta \hat{c}_p(x) = \frac{2}{v_\infty} \left( \hat{y}(x) + \frac{i\omega}{v_\infty} \int_0^x \hat{y}(\xi) d\xi \right)$$

- Mit der reduzierten Frequenz  $k$  gilt:

$$\Delta \hat{c}_p(x) = \frac{2}{v_\infty} \left( \hat{y}(x) + \frac{2ik}{c} \int_0^x \hat{y}(\xi) d\xi \right)$$

## 2.3 Analytische Lösung

---

- Wie im stationären Fall kann die Integralgleichung mithilfe eines Reihenansatzes analytisch gelöst werden.
- Reihenansatz:
  - Wie im stationären Fall wird der Winkel  $\theta$  als neue Variable eingeführt:

$$x = \frac{c}{2} (1 + \cos(\theta))$$

- Der Abwind wird in eine Fourier-Reihe entwickelt:

$$2ik \frac{Z}{c} + \frac{dZ}{dx} = \frac{1}{2} \hat{W}_0 + \sum_{n=1}^{\infty} \hat{W}_n \cos(n\theta)$$

mit

$$\hat{W}_n = \frac{2}{\pi} \int_0^{\pi} \left( 2ik \frac{Z}{c} + \frac{dZ}{dx} \right) \cos(n\theta) d\theta$$

## 2.3 Analytische Lösung

---

- Nach einer längeren komplizierten Rechnung (Küssner, 1936) folgt

$$\Delta \hat{c}_p(\theta) = -2 \left( \hat{P}_0 \tan\left(\frac{\theta}{2}\right) + 2 \sum_{n=1}^{\infty} \hat{P}_n \sin(n\theta) \right)$$

mit

$$\hat{P}_0 = C(k) (\hat{W}_0 + \hat{W}_1) - \hat{W}_1, \quad \hat{P}_n = \frac{ik}{2n} \hat{W}_{n-1} + \hat{W}_n - \frac{ik}{2n} \hat{W}_{n+1}$$

- Dabei ist

$$C(k) = \frac{H_1^{(2)}(k)}{H_1^{(2)}(k) + i H_0^{(2)}(k)}$$

die Theodorsen-Funktion.

## 2.3 Analytische Lösung

---

- Auftrieb und Moment:
  - Auftrieb und Moment können wie im stationären Fall berechnet werden.
  - Für den Auftriebsbeiwert gilt:

$$\hat{c}_L = \frac{1}{c} \int_0^c \Delta \hat{c}_p dx = -\pi (\hat{P}_0 + \hat{P}_1)$$

- Für den Momentenbeiwert bezüglich dem Neutralpunkt gilt:

$$\hat{c}_{M_0} = \frac{1}{c^2} \int_0^c \left( \frac{c}{4} - x \right) \Delta \hat{c}_p(x) dx = \frac{\pi}{4} (\hat{P}_1 + \hat{P}_2)$$

## 2.3 Analytische Lösung

---

- Zusammenfassung:

- Koeffizienten:  $\hat{W}_n = \frac{2}{\pi} \int_0^\pi \left( 2ik \frac{Z}{c} + \frac{dZ}{dx} \right) \cos(n\theta) d\theta$

$$\hat{P}_0 = C(k) (\hat{W}_0 + \hat{W}_1) - \hat{W}_1, \quad \hat{P}_n = \frac{ik}{2n} \hat{W}_{n-1} + \hat{W}_n - \frac{ik}{2n} \hat{W}_{n+1}$$

- Druckbeiwert:  $\Delta \hat{c}_p = -2 \left( \hat{P}_0 \tan\left(\frac{\theta}{2}\right) + 2 \sum_{n=1}^{\infty} \hat{P}_n \sin(n\theta) \right)$

- Auftriebsbeiwert:  $\hat{c}_L = -\pi (\hat{P}_0 + \hat{P}_1)$

- Momentenbeiwert:  $\hat{c}_{M_0} = \frac{\pi}{4} (\hat{P}_1 + \hat{P}_2)$

## 2.3 Analytische Lösung

---

- Beispiel: Schlagschwingung

- Bei einer Schlagschwingung schwingt das Profil translatorisch in vertikaler Richtung:  $Z = h = \text{const}$ .

- Für die Koeffizienten folgt:

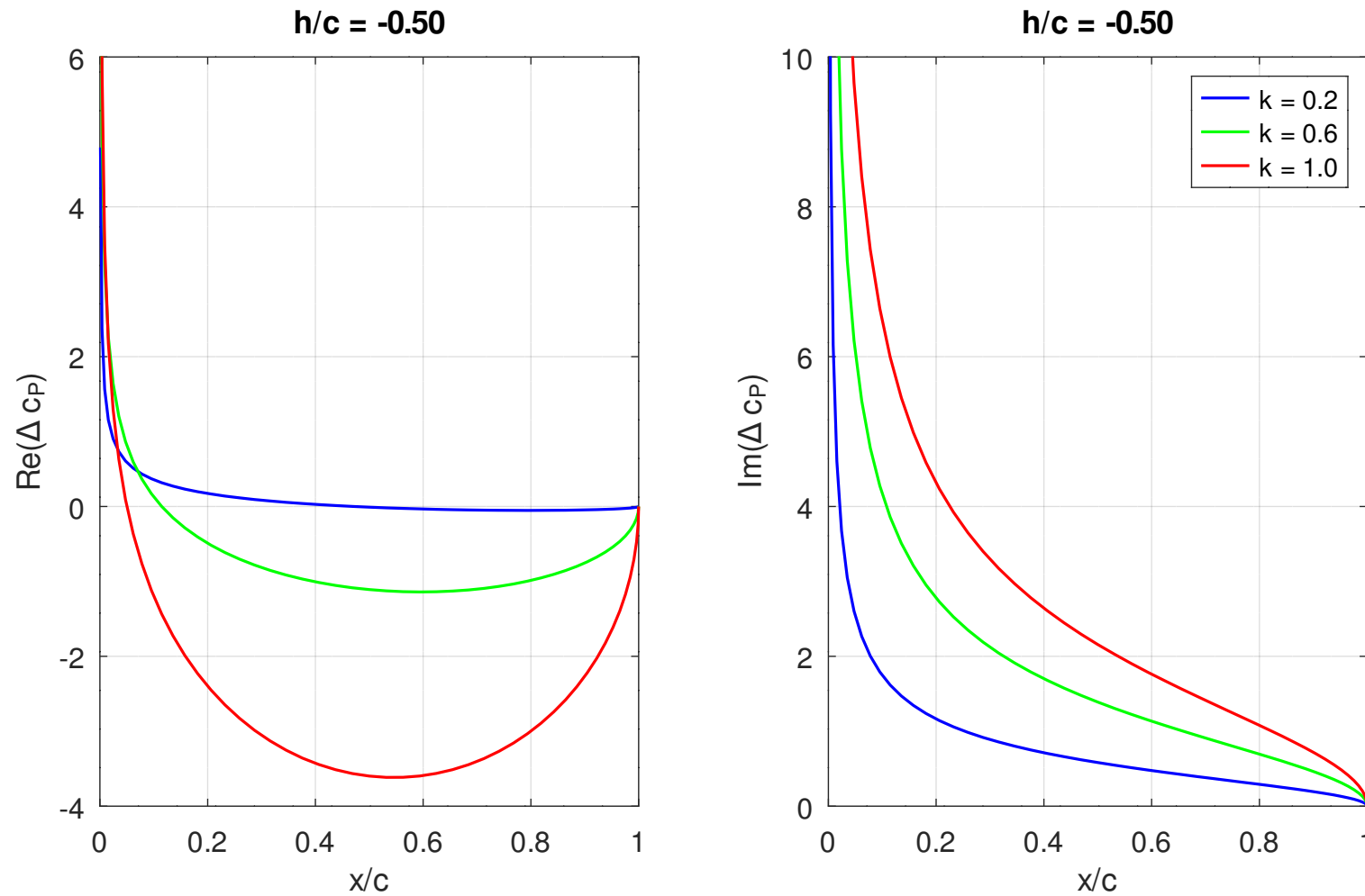
$$\hat{W}_0 = 4ik \frac{h}{c}, \quad \hat{W}_n = 0, \quad n > 0$$

$$\hat{P}_0 = 4ik \frac{h}{c} C(k), \quad \hat{P}_1 = -2k^2 \frac{h}{c}, \quad \hat{P}_n = 0, \quad n > 1$$

- Damit gilt für den Druckbeiwert:

$$\Delta \hat{c}_p = -8 \frac{h}{c} \left( ik C(k) \tan\left(\frac{\theta}{2}\right) - k^2 \sin(\theta) \right)$$

## 2.3 Analytische Lösung



## 2.3 Analytische Lösung

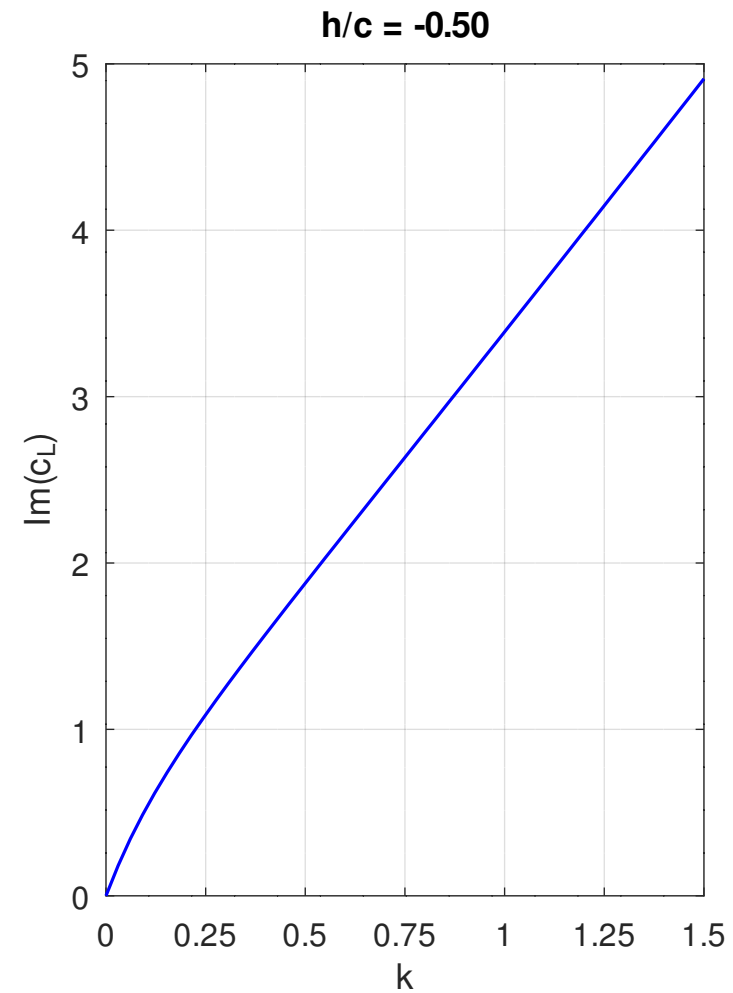
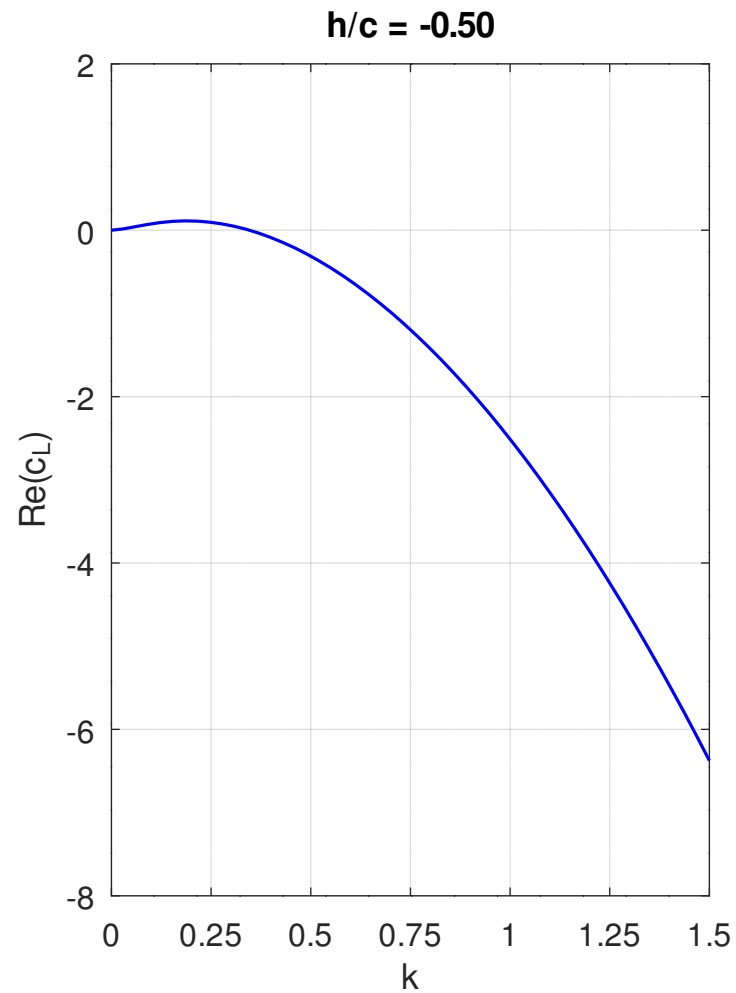
---

- Für den Auftriebs- und den Momentenbeiwert folgt:

$$\hat{c}_L = 2\pi \left( k^2 - 2ikC(k) \right) \frac{h}{c}, \quad \hat{c}_{M_0} = -\frac{\pi}{2} k^2 \frac{h}{c}$$

- Die Terme, die proportional zu  $k^2$  sind, werden durch die Beschleunigung der umgebenden Luft verursacht.
- Der Term, der die Theodorsen-Funktion enthält, beschreibt den Beitrag der Zirkulation zum Auftrieb.
- Der zirkulatorische Auftrieb liefert keinen Beitrag zum Moment um den Neutralpunkt des Profils.

## 2.3 Analytische Lösung



## 2.3 Analytische Lösung

---

- Mit der Flügelfläche  $S$  folgt für den Auftrieb und das Moment:

$$\hat{L} = q_\infty S \hat{c}_L = 2 \pi q_\infty S k^2 \left( 1 - \frac{2i}{k} C(k) \right) \frac{h}{c}$$

$$\hat{M} = q_\infty S c \hat{c}_{M_0} = -\pi q_\infty S c \frac{k^2}{2} \frac{h}{c}$$

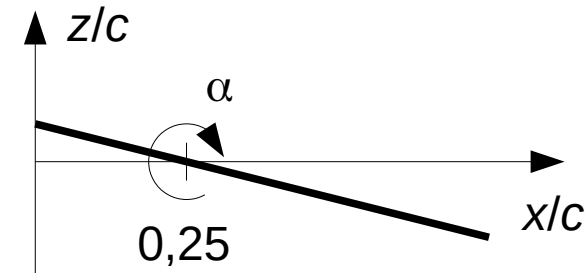
- Diese Formeln stimmen mit den in Kapitel 1.3 angegebenen überein.

## 2.3 Analytische Lösung

- Beispiel: Drehschwingung

- Das Profil führt eine Drehschwingung um den Neutralpunkt aus:

$$Z(x) = -\hat{\alpha} \left( x - \frac{c}{4} \right), \quad \frac{dZ}{dx} = -\hat{\alpha}$$



- Für den Abwind gilt:

$$2ik \frac{Z}{c} + \frac{dZ}{dx} = -\hat{\alpha} \left( 1 + 2ik \left( \frac{x}{c} - \frac{1}{4} \right) \right)$$

$$\frac{x}{c} = \frac{1}{2} (1 + \cos(\theta)) \rightarrow 2ik \frac{Z}{c} + \frac{dZ}{dx} = -\hat{\alpha} \left( 1 + ik \left( \frac{1}{2} + \cos(\theta) \right) \right)$$

## 2.3 Analytische Lösung

---

- Für die Koeffizienten folgt:

$$\hat{W}_0 = -(2+ik)\hat{\alpha}, \quad \hat{W}_1 = -ik\hat{\alpha}, \quad \hat{W}_n = 0, \quad n > 1$$

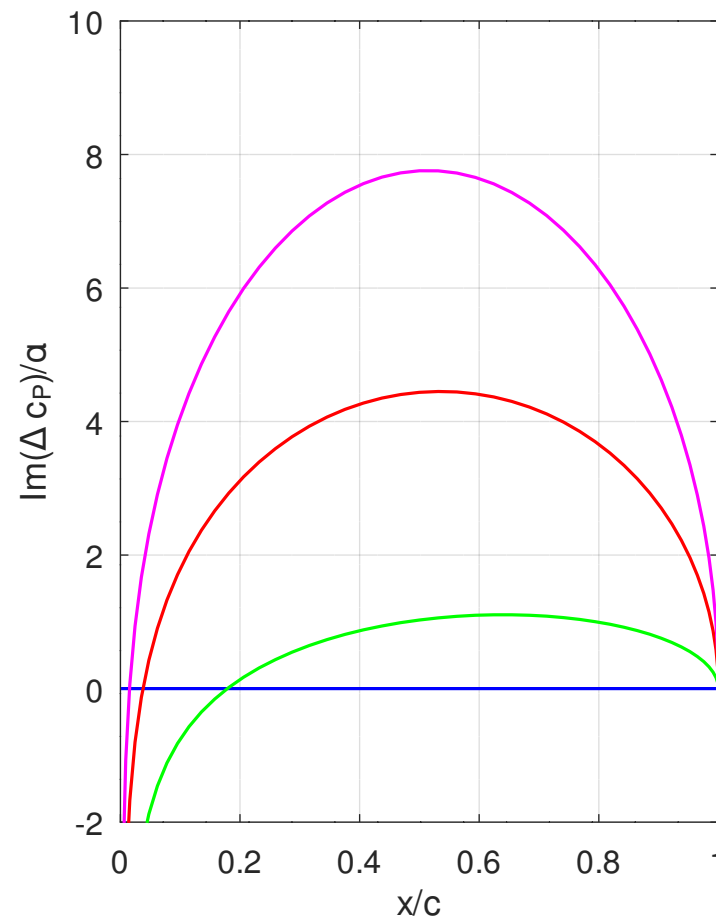
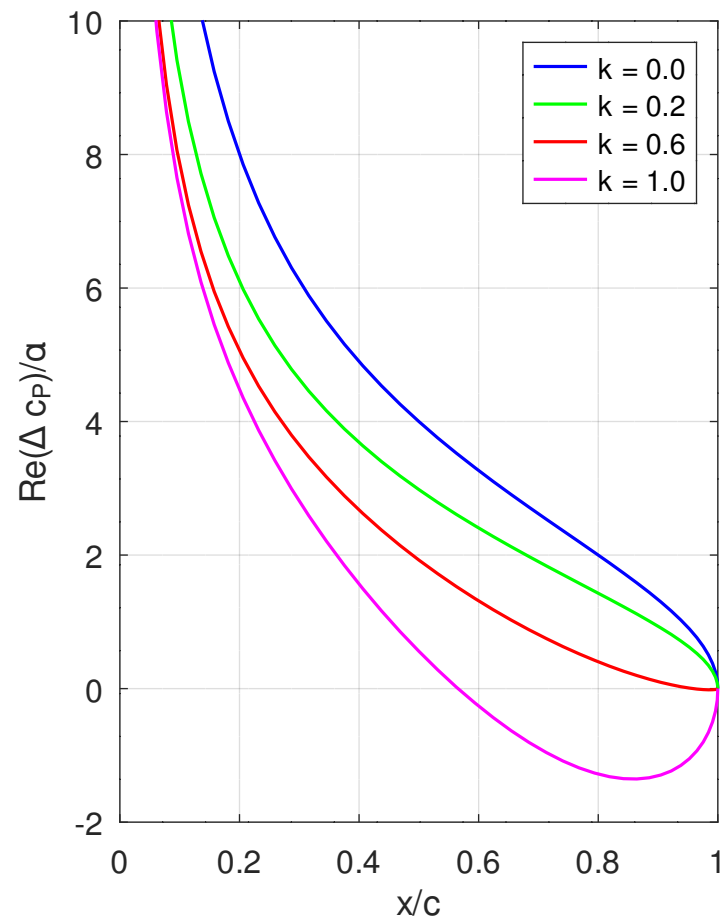
$$\hat{P}_0 = -2(1+ik)C(k)\hat{\alpha} + ik\hat{\alpha}, \quad \hat{P}_n = 0, \quad n > 2$$

$$\hat{P}_1 = -\frac{ik}{2}(2+ik)\hat{\alpha} - ik\hat{\alpha} = \left(\frac{k^2}{2} - 2ik\right)\hat{\alpha}, \quad \hat{P}_2 = -\frac{ik}{4}ik\hat{\alpha} = \frac{k^2}{4}\hat{\alpha}$$

- Der Druckbeiwert berechnet sich zu

$$\begin{aligned} \Delta \hat{c}_p &= -2\hat{P}_0 \tan\left(\frac{\theta}{2}\right) - 4\hat{P}_1 \sin(\theta) - 4\hat{P}_2 \sin(2\theta) \\ &= \left[ (4(1+ik)C(k) - 2ik) \tan\left(\frac{\theta}{2}\right) - (2k^2 - 8ik) \sin(\theta) - k^2 \sin(2\theta) \right] \hat{\alpha} \end{aligned}$$

## 2.3 Analytische Lösung



## 2.3 Analytische Lösung

---

- Für den Auftriebs- und Momentenbeiwert folgt:

$$\hat{c}_L = \pi \left( 2(1+ik)C(k) + ik - \frac{k^2}{2} \right) \hat{\alpha}, \quad \hat{c}_{M_0} = \frac{\pi}{16} (3k^2 - 8ik) \hat{\alpha}$$

- Damit gilt für Auftrieb und Moment:

$$\hat{L} = q_\infty S \hat{c}_L = \pi q_\infty S k^2 \left( -\frac{1}{2} + \frac{i}{k} (1 + 2C(k)) + \frac{2C(k)}{k^2} \right) \hat{\alpha}$$

$$\hat{M} = q_\infty S c \hat{c}_{M_0} = \pi q_\infty S c k^2 \left( \frac{3}{16} - \frac{i}{2k} \right) \hat{\alpha}$$

- Auch diese Formeln stimmen mit den in Kapitel 1.3 angegebenen überein.

## 2.4 Methode der diskreten Wirbel

---

- Methode:
  - Wie im stationären Fall lässt sich ein numerisches Verfahren entwickeln, indem die Wirbelverteilung durch diskrete Wirbel in den Viertelpunkten der Profilintervalle approximiert wird.
  - Die Kontrollpunkte befinden sich in den Dreiviertelpunkten der Profilintervalle.
  - Zusätzlich muss das Nachlaufintegral berücksichtigt werden, das mithilfe der Integralexponentialfunktion berechnet werden kann.

## 2.4 Methode der diskreten Wirbel

---

- Damit ergeben sich die folgenden Gleichungen für die Wirbelstärken:

$$v_{\infty} \left( 2ik \frac{Z(x_{Cm})}{c} + \frac{dZ}{dx}(x_{Cm}) \right) = \frac{1}{2\pi} \left( \sum_{n=1}^N \frac{\hat{\Gamma}_n}{x_{\Gamma n} - x_{Cm}} + F(x_{Cm}) \hat{\Gamma}_0 \right),$$

$$m = 1, \dots, N$$

$$\hat{\Gamma}_0 = \sum_{n=1}^N \hat{\Gamma}_n$$

$$\text{mit } F(x) = -\frac{2ik}{c} e^{2ik(c-x)/c} E_1 \left( \frac{2ik(c-x)}{c} \right)$$

- Zur Berechnung der Integralexponentialfunktion steht in GNU Octave die Funktion **expint** zur Verfügung.

## 2.4 Methode der diskreten Wirbel

---

- Das bei der Berechnung des Druckbeiwerts auftretende Integral wird durch die Rechteckregel approximiert:

$$\Delta \hat{c}_P(x_{\Gamma n}) \approx \frac{2}{v_\infty} \left( \frac{\hat{\Gamma}_n}{x_{n+1} - x_n} + \frac{2ik}{c} \sum_{m=1}^{n-1} \hat{\Gamma}_m \right)$$

- Für  $n=1$  ist die Summe null.
- Auftriebsbeiwert und Momentenbeiwert bezüglich dem Neutralpunkt berechnen sich zu

$$\hat{c}_L = \frac{1}{c} \int_0^c \Delta \hat{c}_p dx \approx \frac{1}{c} \sum_{n=1}^N \Delta \hat{c}_{Pn} \Delta x_n$$

$$\hat{c}_{M_0} = \frac{1}{c^2} \int_0^c \left( \frac{c}{4} - x \right) \Delta \hat{c}_P dx \approx \frac{1}{c^2} \sum_{n=1}^N \left( \frac{c}{4} - x_{\Gamma n} \right) \Delta \hat{c}_{Pn} \Delta x_n$$

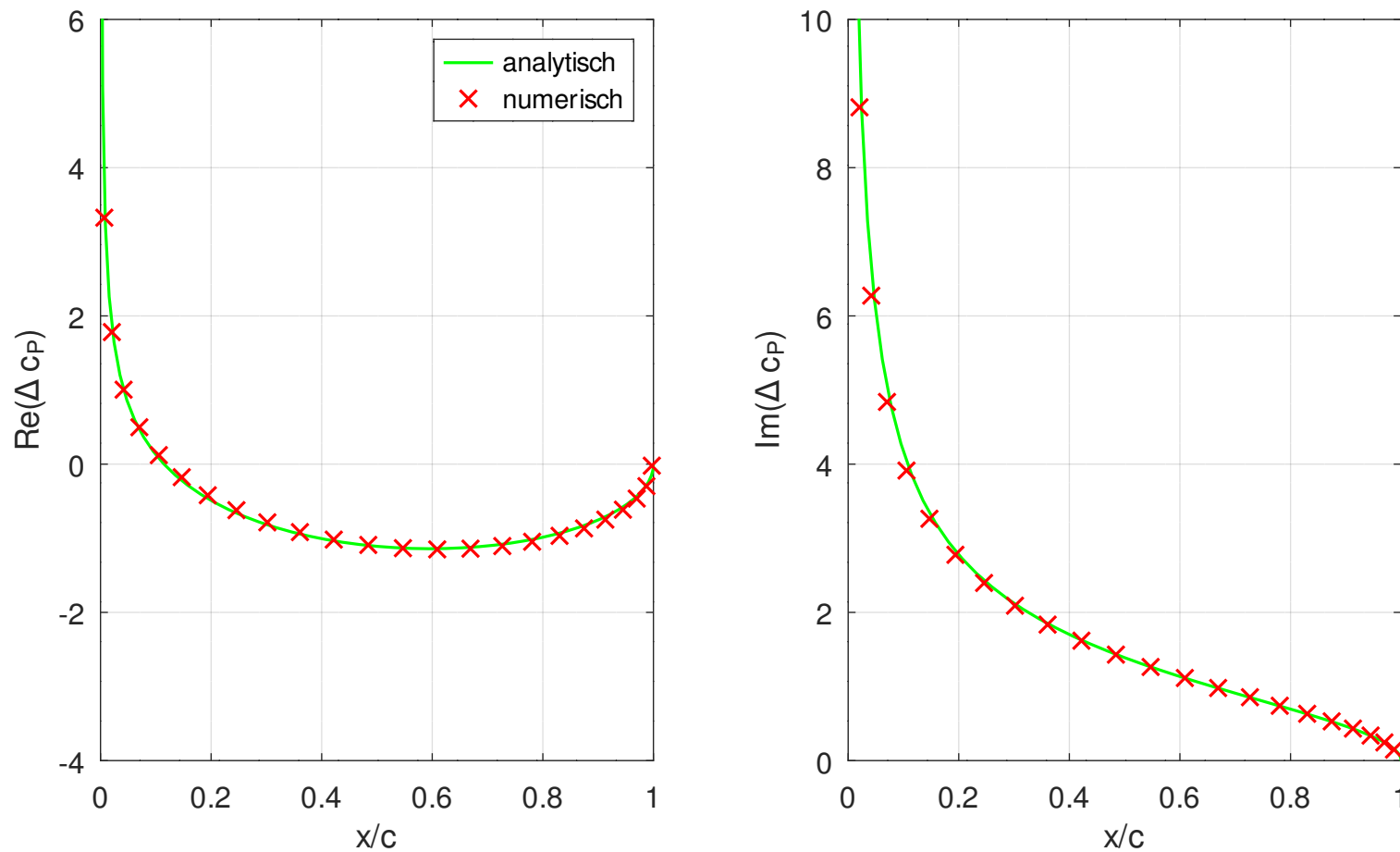
## 2.4 Methode der diskreten Wirbel

---

- Beispiel:
  - Für die Schlagschwingung und die Drehschwingung wird die Druckverteilung für eine reduzierte Frequenz von  $k=0,6$  mit der Methode der diskreten Wirbel berechnet und mit der analytischen Lösung verglichen.
  - Die Amplitude der Schlagschwingung beträgt  $-0,5c$ .
  - Die folgenden Diagramme zeigen, dass sich bereits mit 25 diskreten Wirbeln eine gute Übereinstimmung ergibt.

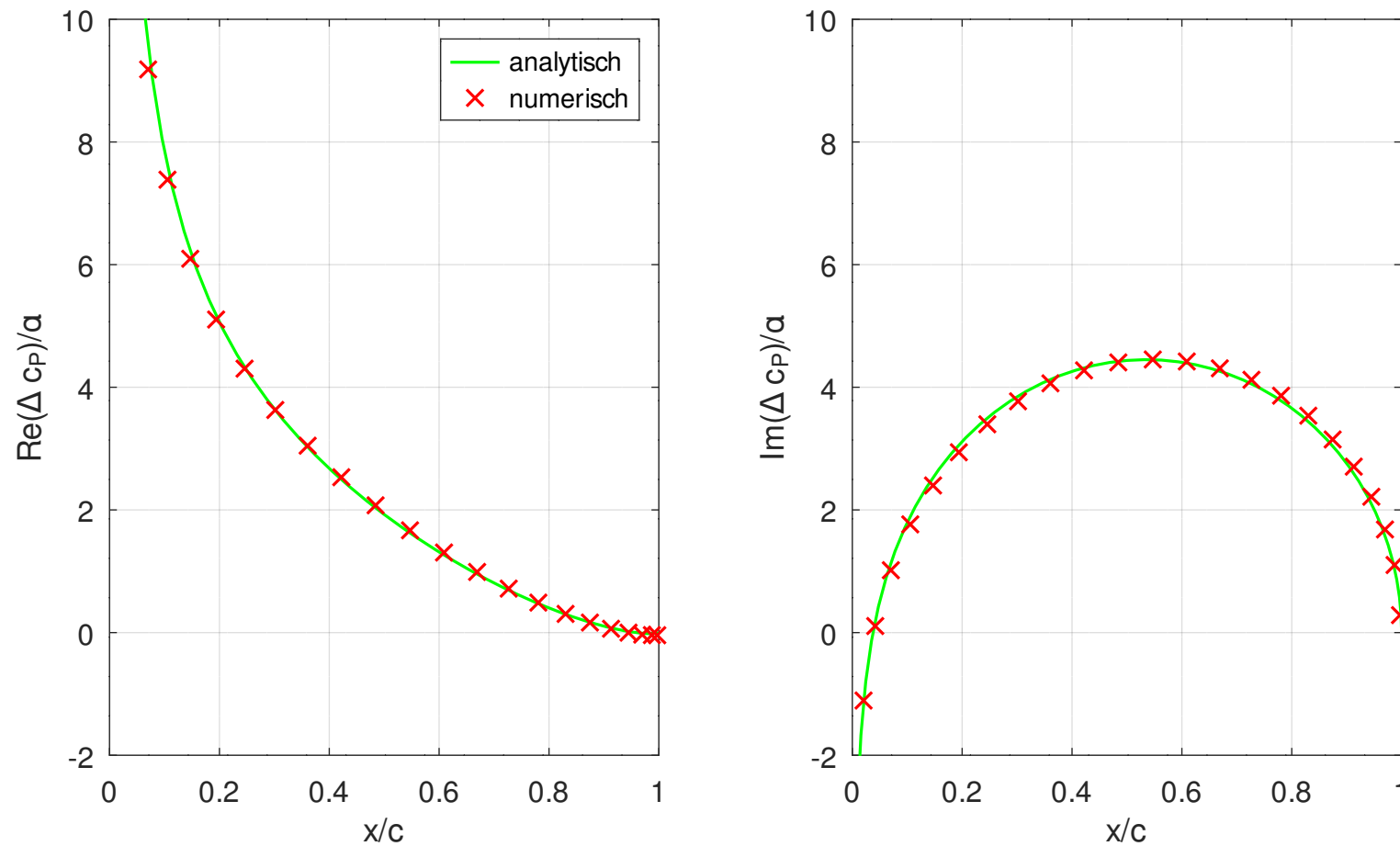
## 2.4 Methode der diskreten Wirbel

- Druckbeiwert für die Schlagschwingung:



## 2.4 Methode der diskreten Wirbel

- Druckbeiwert für die Drehschwingung:



## 2.4 Methode der diskreten Wirbel

---

- Beispiel:
  - Für die Drehschwingung werden Auftriebsbeiwert und Momentenbeiwert in Abhängigkeit von der reduzierten Frequenz berechnet.
  - Das Ergebnis auf der folgenden Seite zeigt eine gute Übereinstimmung mit der analytischen Lösung.

## 2.4 Methode der diskreten Wirbel

- Ergebnis:

